

## استخدام تحويلي Top-Hat و Bottom-Hat لتحسين تباين صور الماموغرام

الدكتور أحمد خضور\*  
الدكتور قصي كنفاني\*\*  
غادة سعد\*\*\*

(تاريخ الإيداع 30 / 11 / 2015. قُبِلَ للنشر في 7 / 3 / 2016)

### □ ملخص □

التصوير الشعاعي للثدي (الماموغرام) هو تقنية تستخدم على نطاق واسع للكشف عن سرطان الثدي، وبالرغم من وجود تقنيات أخرى مختلفة للكشف عن سرطان الثدي إلا أن التصوير الشعاعي للثدي هو الأسلوب الأكثر موثوقية وفعالية في الكشف المبكر عن سرطان الثدي. إن الصور التي يتم الحصول عليها عن طريق التصوير الشعاعي للثدي هي ذات تباين منخفض وهذا ما يسبب مشكلة لأطباء الأشعة لتشخيص المرض من هذه الصور، إذًا، تستخدم تقنيات معالجة الصورة في الحصول على صور ذات جودة عالية، بهدف استخلاص أي نوع من المعلومات منها، لذلك وضعت العديد من الخوارزميات لتحسين تباين الصورة خلال السنوات الماضية. في هذا العمل، أُقترحت طريقة لتحسين تباين التكلسات في صور الماموغرام، تعتمد هذه الطريقة على تطبيق تحويلي القبعة العليا Top-Hat والقبعة السفلى Bottom-Hat والتي تعتمد على العمليات المورفولوجية الرياضية. اختبرت الطريقة على مجموعة صور ذات أنماط مختلفة من نسج الثدي من قاعدة بيانات معيارية mini-Mias. لتقييم أداء خوارزمية التحسين استخدم معيار تحسين التباين CII، ومعيار نسبة ذروة الإشارة إلى الضجيج PSNR بعد كل تحسين. تشير النتائج التجريبية أن الخوارزمية المقترحة لديها القدرة على تحسين نظام التشخيص بمساعدة الحاسب (CAD) وخاصة لنسج الثدي الكثيفة.

**الكلمات المفتاحية:** سرطان الثدي، التكلسات الميكروية، أنظمة التشخيص بمساعدة الحاسب، العمليات المورفولوجية الرياضية، تحسين تباين صور الماموغرام

\* أستاذ مساعد - قسم الهندسة الطبية - كلية الهندسة الميكانيكية والكهربائية - جامعة دمشق - سورية.  
\*\* مدرس - قسم العلوم الأساسية - كلية الهندسة الميكانيكية والكهربائية - جامعة دمشق - سورية .  
\*\*\* طالبة دكتوراه - قسم الهندسة الطبية - كلية الهندسة الميكانيكية والكهربائية - جامعة دمشق - سورية.

## Using Top-Hat and Bottom-Hat Transforms for Contrast Enhancement of Mammograms

Dr. Ahmad Khaddour<sup>\*</sup>  
Dr. Qosai Kanafani<sup>\*\*</sup>  
Ghada Saad<sup>\*\*\*</sup>

(Received 30 / 11 / 2015. Accepted 7 / 3 / 2016)

### □ ABSTRACT □

Mammography is widely used technique for breast cancer screening. There are various other techniques for breast cancer screening but mammography is the most reliable and effective technique. The images obtained through mammography are of low contrast which causes problem for the radiologists to interpret. Hence, a high quality image is mandatory for the processing of the image for extracting any kind of information. Many contrast enhancement algorithms have been developed over the years. This work presents a method to enhancement Microcalcifications in digitized mammograms. The method is based Mainly on the combination of Image Processing. The top-Hat and bottom-hat transforms are a techniques based on Mathematical morphology operations. This algorithm has been tested on mini-Mias database which have three types of breast tissues . For evaluation of performance of image enhancement algorithm, the Contrast Improvement Index (CII) and Peak Signal to Noise Ratio (PSNR) have been used. Experimental results suggest that algorithm can be improve significantly overall detection of the Computer-Aided Diagnosis (CAD) system especially for dense breast.

**Key words:** Breast Cancer, Digital mammography, micro-calcification, Computer Auto-Detection Systems (CAD), Mathematical Morphological Operations, contrast enhancement the mammogram images

---

<sup>\*</sup> Associate Professor, Department of Bio-Medical Engineering - Faculty of Mechanical and Electrical Engineering - Damascus University – Syria.

<sup>\*\*</sup> Assistant Professor, Department of Basic Sciences - Faculty of Mechanical and Electrical Engineering - Damascus University – Syria.

<sup>\*\*\*</sup> PhD. Student - Department of Bio-Medical Engineering - Faculty of Mechanical and Electrical Engineering - Damascus University - Syria.

## مقدمة:

سرطان الثدي هو أكثر أنواع السرطانات شيوعاً بين النساء في العالم [1]، هذا هو السبب الرئيس لموت النساء الذين تتراوح أعمارهم بين سن 35 و40. إن الكشف المبكر هو الأسلوب الأكثر نجاحاً في التعامل مع سرطان الثدي. حالياً لا يزال يعتبر التصوير الشعاعي للثدي (الماموغرام) التقنية التي أثبتت جدواها في الكشف المبكر عن سرطان الثدي مقارنة مع التقنيات الأخرى المتاحة مثل التصوير المقطعي (CT) والتصوير بالرنين المغناطيسي (MRI) والموجات فوق الصوتية. الماموغرام هو صورة للثدي تؤخذ من جهاز آمن، يصدر جرعة أشعة سينية منخفضة. بشكل عام، صور الماموغرام منخفضة التباين والخصائص التي تشير إلى سرطان الثدي هي دقيقة جداً. سيوفر التحسين الرقمي لصور الماموغرام تفسيراً مهماً من أجل الحالات الحرجة، فضلاً عن إمكانية التشخيص السريع. فمن الصعب جداً تفسير صور الماموغرام بسبب الفروقات الصغيرة في كثافة الصورة لأنسجة الثدي المختلفة ولا سيما بالنسبة لنمط نسيج الثدي الكثيفة [2]. عندما يصور طبيب الأشعة بجرعة منخفضة من أشعة X سيتم الحصول في المقابل على صورة ماموغرام منخفضة التباين، ويمكن أن يشوبها نوع من الضوضاء التي تعزى لأجهزة التصوير. كما أنه من الصعب في صور الماموغرام منخفضة التباين التفسير بين الأنسجة الطبيعية والأنسجة الخبيثة. وقد استخدمت على نطاق واسع تقنيات تحسين الصورة في مجال الأشعة حيث موضوع جودة الصور أمراً مهماً للطبيب من أجل تفسير موجودات الصورة والتشخيص على نحو دقيق. خوارزميات عديدة متوفرة في الدراسات البحثية لتحسين الصور الطبية كتسوية الهستوغرام، مرشح الوسط، مرشحات غاوس، والمرشحات المورفولوجية وغيرها [3,4]. اقترحت دراسة قام بها الباحثون (Dhawan *et al*) خوارزمية تدعى التكيف الأمثل لعناصر الجوار بالإضافة إلى مجموعة من توابع تحسين التباين من أجل تحسين خصائص صورة الماموغرام. وهذه الطريقة مطورة عن خوارزمية لدراسة سابقة قام بها الباحثون Gordon و Ranagayyan [5] استطاعت تحسين الخصائص المرغوبة، ولكن غير مرئية أو من الصعب مشاهدتها في الصور منخفضة التباين والحاوية على ضجيج وتغيرات أخرى في خلفية الصورة [5]. كما اقترح الباحثون (Stojic.T. *et. al*-2005) خوارزمية جديدة على صعيد تحسين التباين المحلي وإخماد تراكيب الخلفية في صور الماموغرام الرقمية. وقد استندت الخوارزمية على تطبيق المورفولوجيا الرياضية لمعالجة الصور ذات السويات الرمادية. الخوارزمية غير فعالة في تحسين التكلسات الميكروية في صور الماموغرام الرقمية [6]. طور الباحثون (Sun.Y. *et. al*-2005) خوارزمية (ANCE (adaptive-neighborhood contrast enhancement) أي تحسين تباين الجوار التكيفي لاستخلاص خط الجلد (حدود الثدي). استخدمت الـ ANCE من أجل تحسين نسيج الثدي وإخماد الضوضاء في الخلفية وبالتالي يمكن تحسين استخلاص خط الجلد والذي يعتبر خطوة هامة في CAD. استطاعت هذه الطريقة فقط من تحسين حدود الثدي بدلاً من كامل صورة الماموغرام [7]. اقترح (Heinlein *et al*-2003) خوارزمية لتحسين التكلسات الميكروية في صور الماموغرام تستند على مجموعة مرشحات مستمدة من التحويل المويجي المستمر continuous wavelet. العيب الرئيسي لهذه الطريقة أنها تتطلب اختيار تجريبي للعتبات المناسبة من أجل تقليل ضوضاء الصورة، فضلاً عن تحديد نطاق الحجم المناسب لتحسين تراكيب الصورة [8]. وضع (Jiang *et al*-2005) طريقة لتحسين التكلسات الميكروية الممكنة تجمع بين المنطق الضبابي Fuzzy Logic والبنية الممتدة structure (ST) tensor. في هذه الطريقة، تم أولاً إجراء عامل (ST) ثم تم تطبيقه على كل بكسل من بكسلات صورة الماموغرام، ومن ثم دمج الصورة الناتجة مع الصورة الضبابية التي تم الحصول عليها عن طريق التحويل الضبابي fuzzy transform للصورة الأصلية من أجل تحسين التباين. استطاعت هذه الطريقة من إخماد المناطق غير الحاوية

على التكلسات الميكروية MCS مع تعزيز مناطق التكلسات الميكروية MCS. الطريقة ذات طبيعة معقدة بسبب المنطق الضبابي والعمل بمجالين مختلفين وهذا يحتاج إلى خبرة [9]. قدمت دراسة (Kamra et al-2013) وسيلة لتحسين الإشارات المشكوك بها باستخدام عملية مورفولوجية متعددة المقاييس. استخدم الباحثون مناطق الاهتمام فقط لبعض صور من قاعدة البيانات معيارية MIAS للاختبار، وقد تم التحليل الكمي باستخدام معيار التباين للخلفية ومنطقة الاهتمام [10]. على الرغم من أن الأساليب المذكورة أعلاه قد حققت نتائج كبيرة إلا أنه لا يزال حتى الآن هناك دائما مجالاً للتحسين.

يقدم البحث المقترح طريقة سهلة وسريعة الحساب تعتمد على العمليات المورفولوجية الرياضية والمرشحات اللازمة للتحسين. في هذه الورقة وصف لطريقة التحسين المقترحة. كما تسلط الضوء على نتائج التجارب التي أجريت على مجموعة من صور الماموغرام. وأخيرا مناقشة وتقييم النتائج.

### أهمية البحث وأهدافه:

تحسين الصورة هي أكثر خطوات المعالجة الأولية أهمية في تحليل الصور. من الصعب في صور الماموغرام منخفضة التباين التفسير بين الأنسجة الطبيعية والأنسجة الخبيثة. حيث أن الآفات مثل الكتل والتكلسات الميكروية يصعب كشفها لأن لديها تباين منخفض بالمقارنة مع أنسجة الثدي المجاورة. موضوع جودة الصور أمراً مهماً للطبيب من أجل تفسير موجودات الصورة والتشخيص على نحو دقيق، أو لتوفير مدخلات أفضل لتقنيات أخرى للمعالجة الآلية للصور. يقدم البحث المقترح طريقة سهلة وسريعة الحساب تعتمد على العمليات المورفولوجية الرياضية والمرشحات اللازمة لإزالة الضجيج وتحسين مكونات الصورة واقتطاع منطقة الاهتمام من أجل مراحل المعالجة الأخرى.

### طرائق البحث ومواده:

#### 1 - أساسيات العمليات المورفولوجية الرياضية

تستند تقنية معالجة الصور بالعمليات المورفولوجية على نظرية المجموعات الرياضية الحديثة [11]. وتعد من أهم عمليات المعالجة الأولية للصور الرقمية، وقد وضعت العمليات المورفولوجية أساساً لتحليل الصور الثنائية (أبيض وأسود)، وتوسع نطاقها في وقت لاحق إلى الصور ذات السويات الرمادية ومن ثم الصور الملونة [12]. وتستخدم بشكل واسع بهدف الحصول على منطقة الاهتمام (ROI) Region Of Interest في الصورة. تعتمد العمليات المورفولوجية على العلاقات بين مجموعتين: مصفوفة صورة الدخل،  $a$ ، وعامل تشغيل المعالجة، والذي يسمى بالعنصر البنيوي (structuring element)  $S$ ، وهو عبارة عن مصفوفة من الواحدات والأصفار تطبق على صورة الدخل. ترتبط صورة الخرج الناتجة بحجم ونوع العنصر البنيوي المستخدم. حيث يمكن للعنصر البنيوي أن يأخذ أشكالاً مختلفة مثل (خطي، قرص، مستطيل، دائري، معين) وحجوم مختلفة حيث يختلف حجم القناع من  $3 \times 3$ ،  $5 \times 5$ ،  $7 \times 7$  وهكذا. التمدد والتعرية هما عمليتان مورفولوجيتان أساسيتان في المعالجة المورفولوجية. تهدف عملية تمدد الصورة الرقمية ثنائية الأبعاد ذات السويات الرمادية  $I(m,n)$  إلى إجراء عملية توسع للأجسام في الصورة وفق شكل العنصر البنيوي ثنائي الأبعاد  $S(i,j)$ . وتعرف عملية التمدد رياضياً بالعلاقة التالية [11]:

$$(I \oplus S)(m, n) = \max \{I(m - i, n - j)\} \quad , \quad (1)$$

حيث  $D_i \in [(m-i), (n-j)]$  و  $D_s \in (i, j)$ ، حيث  $D_s$  و  $D_i$  هي مجالات  $S$  و  $I$ ، على التوالي. ويفرض  $S$  بحيث يتقاطع عنصر التشكيل مع الموقع الحالي الفعلي  $(m, n)$  لصورة الدخل. بهذه الطريقة يتم استبدال البكسل عند النقطة  $(m, n)$  ببساطة بالقيمة العظمى لبكسلات الصورة المعطاة بالعناصر غير الصفيرية لعنصر التشكيل. لتصبح صورة الخرج أكثر سطوعاً من صورة الدخل، ويتم تخفيض التفاصيل المظلمة أو إزالتها تماماً، اعتماداً على قيم وشكل عنصر التشكيل المستخدم، أما عملية التعرية تعرف على أنها عملية تأكل عن طريق تحريك العنصر البنيوي ضمن الصورة المراد إجراء عملية التعرية لها وفحص الأماكن التي يكون فيها القناع متضمناً بشكل كلي ضمن مجال الصورة. وتعرف التعرية على المستوي الرمادي بالعلاقة الرياضية التالية [11]:

$$(1 \ominus S)(m, n) = \min\{I(m + i, n + j)\} \quad , \quad (2)$$

يفترض أن  $D_i \in [(m+i), (n+j)]$  و  $D_s \in (i, j)$  حيث  $D_s$  و  $D_i$  هي مجالات  $S$  و  $I$ ، على التوالي. بشرط أن  $(m+i)$  و  $(n+j)$  محتواة في مجال  $I$  و  $j$  يجب أن تكون في مجال  $S$ . ينتج التآكل باستبدال قيم البكسل بقيمة الحد الأدنى من بيكسلات الصورة ضمن المجال المحدد حسب حجم وشكل عنصر التشكيل. الصورة الناتجة تميل إلى أن تكون أكثر قتامة (داكنة) مما هو عليه صورة الدخل ويتم تخفيض التفاصيل المضيئة في صورة الدخل أو إزالتها، اعتماداً على قيم وشكل عنصر التشكيل.

كذلك هناك عمليتي الفتح والإغلاق وهما من العمليات المورفولوجية المهمة جداً، يتم تعريف عملية فتح صورة  $I$  بواسطة عنصر تشكيل  $S$  بأنها عملية تعرية متبوعة بعملية تمديد، في حين عملية إغلاق الصورة تكون بالترتيب العكسي لهذه العمليتين [11]:

$$(I \diamond S) = (1 \ominus S) \oplus S \quad , \quad \text{opening} \quad (3)$$

$$(I \bullet S) = (1 \oplus S) \ominus S \quad , \quad \text{closing} \quad (4)$$

ونتيجة لذلك، من خلال عملية الفتح نتمكن من إزالة التفاصيل المضيئة التي هي أصغر من عنصر التشكيل المستخدم، أما التفاصيل الكبيرة، سواء المضيئة والمظلمة، والتي هي أكبر من عنصر التشكيل، ستبقى تقريباً دون تغيير. على العكس من ذلك، فإن عملية الإغلاق تزيل التفاصيل المظلمة التي هي أصغر من عنصر التشكيل. من خلال الجمع بين عمليتي الفتح والإغلاق المورفولوجي، يمكن أن تنتج لدينا عمليات تحويل مورفولوجية متقدمة تؤدي العديد من مهام معالجة الصورة المختلفة، بالتالي نتمكن من تعزيز أو تخميد تفاصيل أصغر من العنصر البنيوي  $S$ . هذه العمليات تدعى بتحويل الـ Top-Hat (TH) وتحويل الـ Bottom-Hat (BH). يتم الحصول على تحويل Top-Hat (TH) وذلك بطرح صورة الفتح المورفولوجي من الصورة الأصلية [12]:

$$TH = I - (I \diamond S) \quad (5)$$

كما سبق ذكره، عن طريق عملية فتح واحدة يمكن إزالة تفاصيل المضيئة من صورة الدخل، الأصغر من عنصر التشكيل المستخدم. طرح صورة الفتح من الصورة الأصلية تنتج صورة، تؤكد على الخصائص التي تم إزالتها عن طريق فتح. وهكذا، يعتبر تحويل TH أداة ممتازة لتحسين وإبراز التفاصيل اللامعة الصغيرة من الخلفية غير

المنتظمة، وأنها قد أثبتت كفاءتها في تطبيقات تحسين الصورة. يتم تعريف تحويل Bottom-Hat (BH) المورفولوجي باعتبارها فرق بين الصورة المغلقة مورفولوجيا (شكليا) والصورة الأصلية [12]:

$$BH = (I \cdot S) - I \quad (6)$$

ونتيجة لذلك، هذا التحويل ينتج تأثير معاكس لتحويل Top-Hat (TH). وهذا يعني، باستخدام الإغلاق بدلا من الفتح، وطرح الصورة الأصلية من الصورة المغلقة، يمكن عندها استخراج الخصائص الداكنة من خلفية الأكثر إشراقاً. لاحظ أن كلا التحويلين تحقق تسوية إضاءة الخلفية غير المنتظمة.

## 2 - تحسين التباين المحلي باستخدام العمليات المورفولوجية:

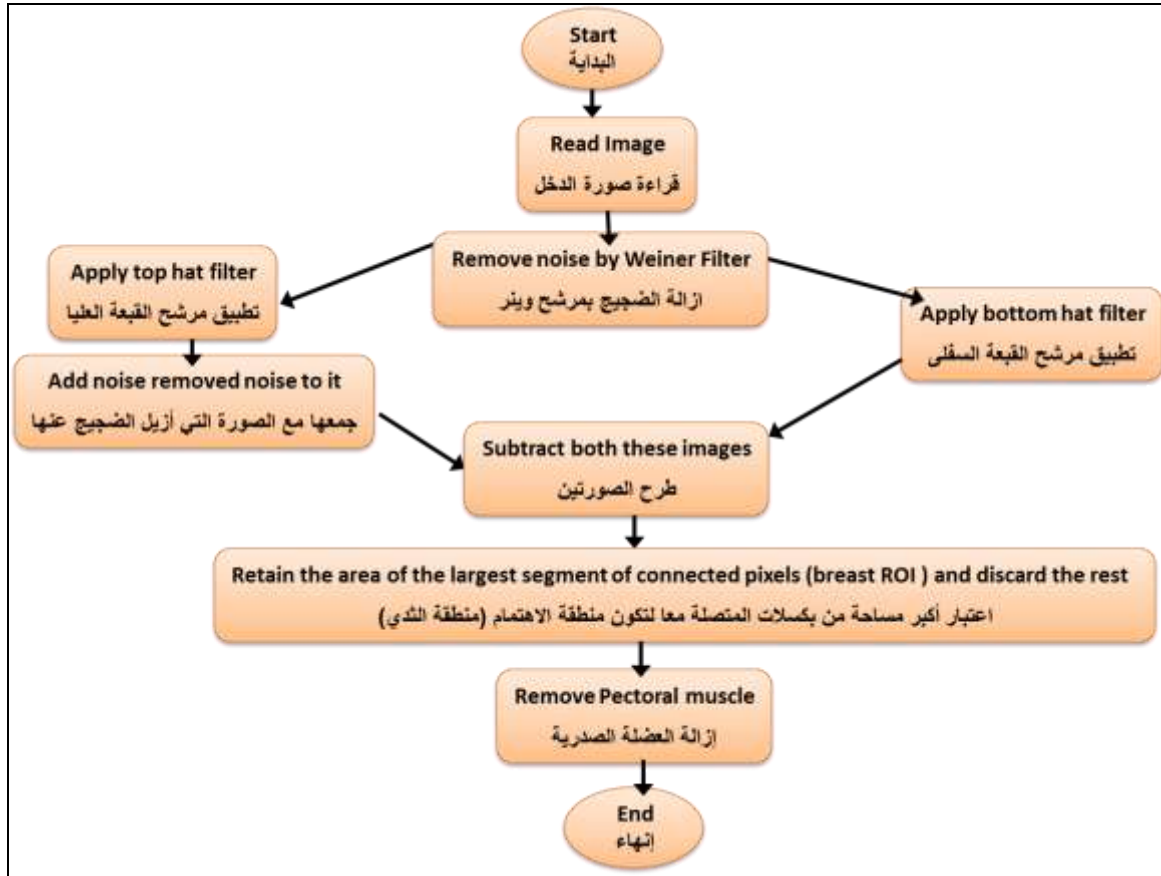
يمكن أن يتحقق تحسين التباين المحلي عن طريق إضافة الصورة الأصلية إلى الصورة الناتجة عن الفرق بين الصورتين الناتجتين عن تطبيق مرشح Top-Hat (TH) ومرشح Bottom-Hat (BH) على التوالي. الصورة النهائية الناتجة تسمى بصورة التباين، C، وتعطى وفق العلاقة التالية [12]:

$$C = I + (TH - BH) \quad (7)$$

بحساب الفرق (TH - BH)، فإن التفاصيل المضيئة، التي أصغر من عنصر التشكيل، تؤكد بشدة، في حين تخدم التفاصيل المظلمة. وعلاوة على ذلك، إذا قمنا بإضافة الصورة الأصلية لهذا الفرق يتحقق ترشيح عالي التردد. وبالتالي، سنتمكن من تعزيز وتحسين التفاصيل المضيئة التي أصغر من العنصر البنيوي S، وتحقيق تسوية عالية للخلفية المتفاوتة (تراكيب الأنسجة المحيطة).

## منهجية البحث:

يمكن من خلال تحسين تباين صور الماموغرام إخراج التغييرات الطفيفة في كثافة نسيج الثدي. في هذه الخطوة، تم تسليط الضوء على التفاصيل غير المرئية بالعين المجردة. ويبين الشكل (1) أدناه مراحل تطبيق الخوارزمية المقترحة. في البداية تم قراءة صورة الماموغرام، وإزالة الضجيج من ذلك باستخدام فلتر واينر (weiner). ورسم مربع إحاطة حول الثدي، كان لا بد من إدراج هذه الخطوة للتأكد من أن كامل صورة الثدي ستعطي إلى البرنامج، ثم طبقت عمليتي bottom hat , top hat على الصورة كل على حدة، وذلك باستخدام العنصر البنيوي على شكل كرة. تم جمع الصورة التي أزيل منها الضجيج مع الصورة التي تم ترشيحها بعملية top hat. من ثم طرح الصورة الناتجة من الصورة التي تم ترشيحها بعملية bottom hat. من هذه الصورة سنأخذ بالاعتبار أكبر مساحة من بكسلات المتصلة معا لأن تكون المنطقة ذات الاهتمام التي هي الثدي وتجاهل المناطق الأخرى. للكشف عن العضلة الصدرية التي تظهر في صور الثدي الجانبية (أنسي - وحشي)، قمنا بتطبيق تعبت آلي على الصورة إلى سويتين. واعتبار أن الجزء الأكبر من مكونات البيكسلات المتصلة ستكون العضلة الصدرية، وبعد ذلك يتم طرح هذا الجزء من منطقة الاهتمام لنتجت لدينا الصورة النهائية المحسنة.



الشكل (1): المخطط الانسيابي لتحسين تباين صور الماموغرام

### معايير تقييم الأداء:

لا توجد قاعدة عامة لتحديد جودة تحسين الصورة عندما يتعلق الأمر بالإدراك البشري ومع ذلك، عندما تستخدم عملية تحسين الصورة كأداة معالجة أولية لتقنيات معالجة الصور الأخرى، فإنه يمكن للقياسات الكمية تحديد أي من تلك التقنيات هي الأكثر ملاءمة، كما يمكننا التحقق من تحسين الصورة بالمعاينة البصرية. هناك العديد من مؤشرات القياس المستخدمة لقياس التحسين هي: التباين، الانتروبية، مؤشر تحسين التباين ومؤشر الـ PSNR. يتم في ورقة العمل هذه تقييم تباين صور الماموغرام  $C_C$  وفق المعادلة التالية:

$$C_C = \frac{1}{MN} \sum_{i=1}^M \sum_{j=1}^N f'^2(i,j) - \left| \frac{1}{MN} f'(i,j) \right|^2 \quad (8)$$

حيث  $M$  و  $N$  هي طول وعرض الصورة على التوالي، و  $f'(i,j)$  هي الصورة المحسنة. كلما كبرت قيمة البارامتر  $C_C$ ، يعني تباين الصورة أفضل.

كما يحدد المقياس الكمي لتحسين التباين من خلال (CII: Contrast Improvement Index) وهو مؤشر تحسين التباين والذي يعبر عنه بالعلاقة التالية:

$$CII = \frac{C_{\text{processed}}}{C_{\text{original}}} \quad (9)$$

حيث  $C_{processed}$  و  $C_{original}$  هي تباين كل من الصور المعالجة والصورة الأصلية على التوالي.  $C$ : هي متوسط قيمة المنطقة التباين المحلي في الصورة المعالجة والصورة الأصلية. يتم قياس التباين المحلي في كل بكسل كمايلي:  $(X_{max}-X_{min}) / (X_{max} + X_{min})$  في حجم نافذتها المحلية [14]، وتشير القيمة الأكبر لـ  $CII$  إلى أن جودة الصورة الناتجة هي الأفضل.

كما استخدمنا معيار نسبة ذروة الإشارة إلى الضجيج the peak signal to noise ratio (PSNR) كقياس كمي للتحسين ويعرف بالعلاقة التالية :

$$PSNR = 10 \log_{10} \frac{(L-1)^2}{\frac{1}{MN} \sum_{i=1}^M \sum_{j=1}^N [f'(i,j) - f(i,j)]^2} \quad (10)$$

حيث  $f(i,j)$  هي الصورة الأصلية بحجم  $M \times N$ ،  $f'(i,j)$  هي الصورة المحسنة و  $L-1$  هي القيمة العظمى الممكنة في الصورة  $f(i,j)$ . القيمة الصغيرة لمعيار PSNR تشير إلى أن الصورة رديئة الجودة.

ولإجراء المقارنة مع خوارزميات أخرى استخدم معيار Edge Preservation Index (EPI) كقياس كمي لتحديد الحواف ويعرف بالعلاقة التالية :

$$EPI = \frac{\sum (|I_p(i,j) - I_p(i+1,j)| + |I_p(i,j) - I_p(i,j+1)|)}{\sum (|I_o(i,j) - I_o(i+1,j)| + |I_o(i,j) - I_o(i,j+1)|)} \quad (11)$$

حيث  $I_o(i,j)$  هي كثافة بكسل الصورة الأصلية من أجل موقع البكسل  $(i, j)$ ، وتعتبر  $I_p(i,j)$  عن قيمة كثافة بكسل الصورة المحسنة من أجل موقع البكسل  $(i, j)$ ، القيمة الأكبر لمعيار الـ EPI تعطي مؤشر أفضل لجودة الصورة

## النتائج والمناقشة:

### 1- مرحلة المعالجة الأولية للخوارزمية المقترحة:

تتعامل مرحلة المعالجة الأولية مع تحسين الصورة وإزالة الضجيج. في الخطوة الأولى من البرنامج المقترح هي قراءة الصور بواسطة برنامج الماتلاب وتحويلها إلى مصفوفة قيم ثنائي الأبعاد، كل قيمة  $f$  هي تابع لـ  $(x,y)$ ، تمثل  $f$  الشدة الضوئية عند نقطة الأحداث الحيزية  $(x,y)$ . في الخطوة الثانية قمنا بإزالة الضجيج في الصورة المدخلة باستخدام مرشح Wiener. يطبق تابع  $wiener2$  مرشح Wiener (وهو نوع من المرشحات الخطية) إلى صورة الدخل بشكل تكيفي، يقوم بتكييف نفسه بحيث يلائم التفاوتات المحلية لصورة الدخل. إذا كان التفاوت (الاختلاف أو الفرق) كبيراً، فسيقوم الـ  $wiener2$  بقليل من التنعيم. وعندما يكون التفاوت صغيراً، سيجري الـ  $wiener2$  المزيد من التنعيم. بهدف إزالة الضجيج استخدمنا تعليمة  $imnoise$  لتطبيق مرشح Wiener

$$imnoise = wiener2(INITIAL); (1)$$

تهدف الخطوة 3 لإنشاء عنصر تشكيل، لأننا نريد تطبيق عمليات التوسيع والتعرية وهي تشكل جزءاً أساسياً في إنشاء عنصر تشكيل والذي يستخدم في فحص (تشخيص) صورة الدخل. استخدمنا تابع strel في مكتبة الماتلاب من أجل إنشاء عنصر تشكيل على شكل كرة ('ball') للقيام بذلك كما هو مبين أدناه

$$se4 = strel('ball',3,3); \quad (2)$$

الخطوة 4 من البرنامج المقترح لتحسين تباين الصورة طبق مرشح top-hat على الصورة وحفظها في صورة جديدة Im3. كما طبق مرشح bottom-hat على الصورة وحفظها في صورة جديدة Im4. وللقيام بذلك استخدمت توابع imtophat وتوابع imbothat المهمة في مكتبة أدوات معالجة الصور في الماتلاب التي ترجع تحويلي top-hat و bottom-hat، على التوالي، تظهر نتيجة هذه الخطوة في الشكل (2-ب،ج) واستخدمت التعليمتين (3) و (4) للقيام بذلك.

$$Im3=imtophat(imnoise,se4); \quad (3)$$

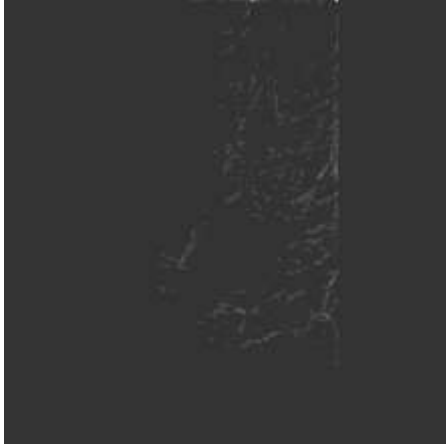
$$Im4=imbothat(imnoise,se4); \quad (4)$$

الخطوة 5 تم توسيع الفجوات بين العناصر، والصورة top-hat تحتوي على قمم العناصر التي تناسب عنصر التشكيل. للقيام بذلك استخدم تابع ham، يظهر الفجوات بين العناصر. لتحقيق أقصى قدر من التباين بين العناصر والفجوات التي تفصل عن بعضها البعض. في البرنامج المقترح أضفت صورة Im3 الناتجة عن تطبيق الـ top-hat إلى الصورة الأصلية. ومن ثم طرح الصورة Im3 الناتجة عن تطبيق bottom-hat من صورة النتيجة كما في الشكل أدناه. استخدمت تعليمة حسابية، imadd و imsubtract، لتنفيذ هذه العمليات، ويكون بذلك قد تم تحسين التباين

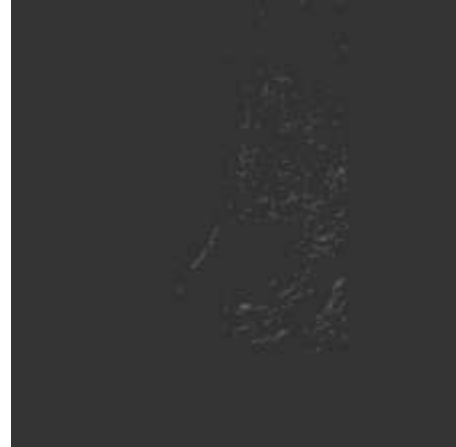
$$Imadd2=imadd(imnoise,Im3); \quad (5) \quad Image1=imsubtract(Imadd2,Im4); \quad (6)$$



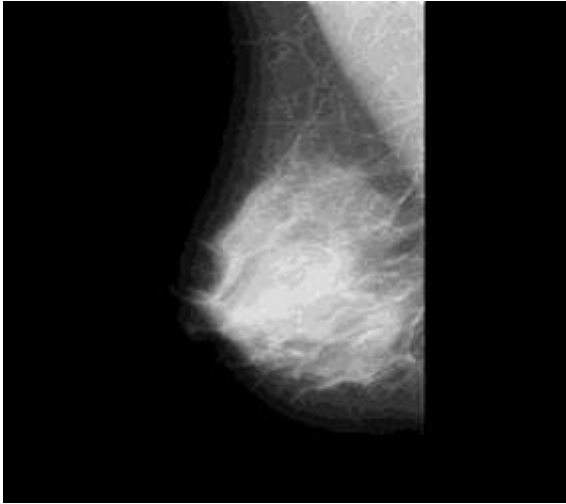
أ - الصورة الأصلية mdb209 (نسيج غدي)



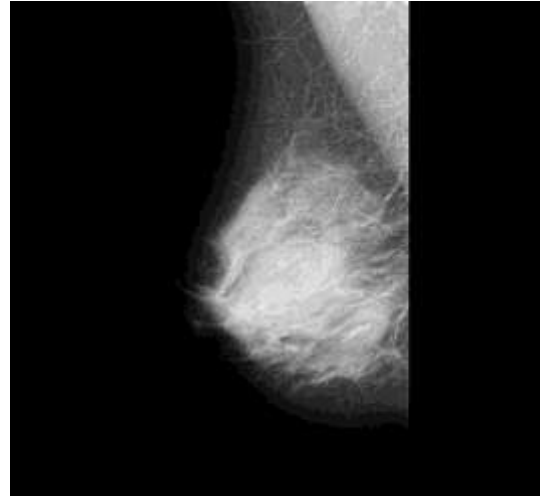
ب - تطبيق تحويل الـ Top-hat على صورة الدخل



ج - تطبيق تحويل الـ Bottom-hat على صورة الدخل



د - جمع الصورة الأصلية مع Im3 وحفظ النتيجة كصورة Imadd2

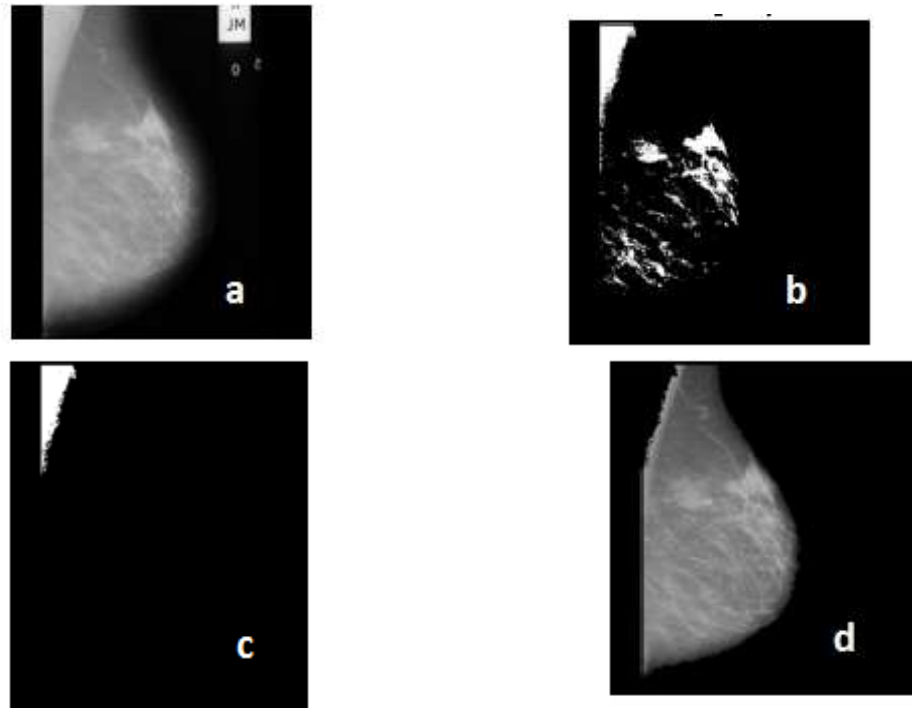


هـ - طرح Imadd2 من Im4، وحفظ النتيجة كصورة Image1

الشكل (2): مراحل عمل الخوارزمية المقترحة في مرحلة تحسين التباين

## 2- مرحلة كشف وإزالة العضلة الصدرية

إن الكشف واجتزاء العضلة الصدرية في صور الماموغرام تساهم في تحسين أداء نظام الكشف بمساعدة الحاسب (CAD) في الكشف عن آفات الثدي في صور الماموغرام. تجرى هذه المرحلة على صور الماموغرام ذات المسقط الجانبي، حيث تظهر العضلة الصدرية وبشكل واضح في صورة كل من الثدي الأيمن والأيسر عند التصوير بالاتجاه الأنسي - الوحشي (Medio-Lateral Oblique (MLO). تمكنا باستخدام تقنية تعتيب الصورة إلى سويتين من كشف العضلة الصدرية، واعتبار أن الجزء الأكبر من مكونات البيكسلات المتصلة ستكون العضلة الصدرية، وبعد ذلك يتم طرح هذا الجزء من منطقة الاهتمام لإزالة العضلة الصدرية من الصور لنتج الصورة النهائية المحسنة. والشكل (3) يبين خطوات تنفيذ هذه المرحلة على إحدى صور قاعدة البيانات mini-mias



الشكل (3): (a) الصورة الأصلية mdb248 (نسيج دهني) (b) تعتیب ثنائي السوية (c) كشف العضلة الصدرية (e) إزالة العضلة الصدرية

### 3- مرحلة تقييم النتائج

طبقت الخوارزمية المقترحة على 22 صورة من قاعدة البيانات المعيارية mini MIAS وهي 1028X1028 بكسل [13]. هذه الصور ذات أنماط مختلفة من نسيج الثدي، توزعت بين 10 صور نسيج كثيف، 6 صور نسيج دهني، و 6 صور نسيج غدي. من أجل تقييم أداء خوارزمية تحسين تباين الصورة المقترحة قمنا بحساب كل من معياري CII و PSNR على هذه الصور. يبين الجدول (1) نتائج معايير تقييم الأداء (CII, PSNR) وفقاً للأنماط الثلاثة لنسيج الثدي (الكثيف- الغدي - الدهني).

الجدول (1) يبين نتائج معايير تقييم الأداء وفقاً للأنماط الثلاثة لنسيج الثدي (الكثيف- الغدي - الدهني)

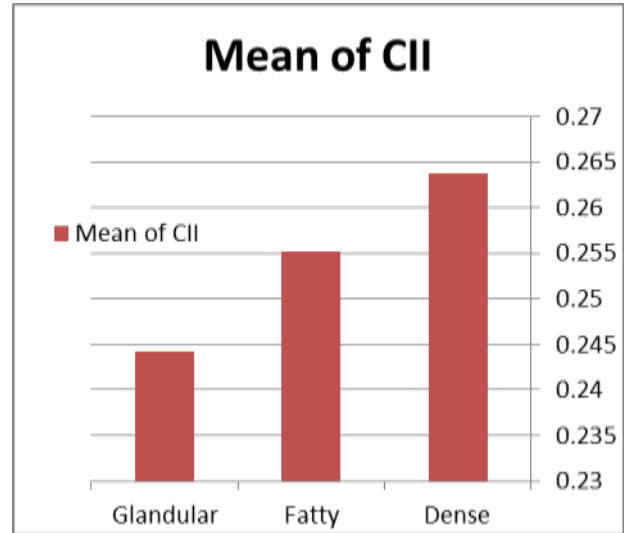
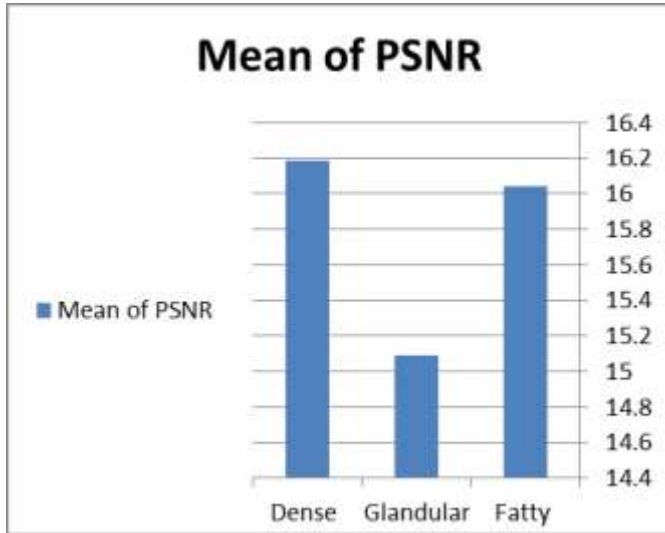
نمط النسيج	عدد الصور	رقم الصورة	PSNR	CII
F (دهني)	1	Mdb231.pgm	15.9613	0.291
	2	Mdb238.pgm	18.7148	0.232
	3	Mdb248.pgm	15.3923	0.251
	4	Mdb245.pgm	14.6004	0.280
	5	Mdb252.pgm	17.0869	0.248
	6	Mdb256.pgm	14.5180	0.229
G (غدي)	1	Mdb209.pgm	14.9355	0.244
	2	Mdb211.pgm	16.1709	0.208

	3	Mdb213.pgm	13.5667	0.268
	4	Mdb218.pgm	14.8023	0.279
	5	Mdb219.pgm	13.6863	0.248
	6	Mdb227.pgm	17.3743	0.218
D (كثيف)	1	Mdb222.pgm	17.6758	0.212
	2	Mdb216.pgm	14.6654	0.199
	3	Mdb223.pgm	19.7440	0.218
	4	Mdb226.pgm	19.5976	0.211
	5	Mdb236.pgm	11.4315	0.347
	6	Mdb239.pgm	13.9861	0.364
	7	Mdb240.pgm	13.8358	0.297
	8	Mdb241.pgm	16.0886	0.258
	9	Mdb249.pgm	13.6416	0.256
	10	Mdb253.pgm	15.2351	0.275

كذلك يوضح كل من الجدول ( 2 ) و الشكلين ( 4,5 ) قيمة المتوسط الحسابي لكل من CII و PSNR على التوالي لكل نمط من أنماط نسج الثدي.

الجدول (2) يبين القيمة المتوسطة لكل من معايير CII و SPNR وفقا لأنماط نسج الثدي (الكثيف- الغدي - الدهني)

Type (نمط النسج)	Mean of CII	Mean of PSNR
Fatty (دهني)	0.25517	16.04562
Glandular (غدي)	0.24417	15.08933
Dense (كثيف)	0.2637	16.19015



الشكل (4) : المتوسط الحسابي لمعيار CII لأنماط نسيج الثدي      الشكل (5) : المتوسط الحسابي لمعيار PSNR لأنماط نسيج الثدي

نستنتج مما سبق، ومن خلال نتائج متوسط معيار تحسين التباين CII لكل من صور الثدي لأنماط النسيج (الدهنية، الكثيفة، الغدية) أن الخوارزمية المقترحة قد حققت نسبة تحسين تباين عالية وملحوظة للنسيج الكثيفة مقارنة مع الدهنية والغدية. كما حققت الخوارزمية نتائج جيدة في تخفيض الضجيج وتحسين صور الماموغرام، حيث يبين مؤشر متوسط معيار نزوة الإشارة إلى الضجيج PSNR أن الخوارزمية قادرة على تخفيض نسبة الضجيج لأنماط النسيج الكثيفة والدهنية مقارنة مع الغدية.

في هذا العمل أيضاً، تمت مقارنة نتائج الخوارزمية المقترحة لتحسين تباين صور الماموغرام مع دراسة قام بها الباحثون Harish Kumar.N et al -2012 [17] أجروا فيها مقارنة بين تقنيات التحسين على أساس مجموعة من الخوارزميات المقترحة حديثاً وهي: Sure Shrink، Bayes shrink، VisuShrink، وتقنيتهم التي تعتمد على Morphology and wavelet transform وفقاً لمعيار CII، EPI باستخدام ثلاث صور، صورة لكل نمط من النسيج من قاعدة البيانات MIAS.

الجدول (3): قياس أداء طرق مختلفة لتحسين الصورة مع الطريقة المقترحة باستخدام معيار التباين CII

Proposed	Morphology & Wavelet	SURE Shrink	Bayes shrink	Visu Shrink	Image ID	Type of Tissue
1.4539	1.49	1.0793	0.7963	0.8571	Mdb 057	D
1.4202	1.4977	1.1421	0.8192	0.8566	Mdb 147	F
1.3881	1.660	1.1342	0.8038	0.8387	Mdb 186	G

الجدول (4): قياس أداء طرق مختلفة لتحسين الصورة مع الطريقة المقترحة باستخدام معيار التباين EPI

Proposed	Morphology & Wavelet	SURE Shrink	Bayes shrink	Visu Shrink	Image ID	Type of Tissue
2.522	2.5615	1.1641	0.8618	0.8596	Mdb 057	D (كثيف)
1.8525	2.2926	1.0093	0.8247	0.8419	Mdb 147	F (دهني)
1.5568	2.1739	1.1941	0.9970	0.9537	Mdb 186	G (غدي)

تشير المقارنة لنفس الصور كما يظهر في الجدول (3) والجدول (4) على التوالي إلى أن نتائج قيم الـ EPI، CII، للطرقة المقترحة في ورقة العمل هذه كانت متقاربة بشكل ملحوظ مع نتائج الخوارزمية التي تعتمد Morphology and wavelet transform، والنتائج حققت أعلى قيم للمعيارين عند مقارنتها مع الخوارزميات الأخرى وبالتالي أثبتت الطرقة المقترحة قدرتها في تحسين جودة صور الماموغرام وخاصة للنسج الكثيفة.

### الاستنتاجات والتوصيات:

يقدم هذا العمل خوارزمية مقترحة تستند على تطبيق تحويلي Top-Hat و Bottom-Hat والتي تعتمد على العمليات المورفولوجية الرياضية من أجل تحسين تباين وإخماد تراكيب خلفية صور الماموغرام الرقمية وتحسين التفاصيل الخفيفة. بتطبيقها على قاعدة بيانات mini MIAS، وتقييم أداء الخوارزمية كميًا، أثبتت الخوارزمية المقترحة قدرتها على تحسين التباين فقد حققت نتائج جيدة لكل أنماط نسج الثدي وخاصة النسج الكثيفة، كما تميزت بأنها طرقة سهلة وسريعة الحساب، لا تتطلب كل تلك التعقيدات في الحساب وهي مناسبة من أجل معالجة صور الماموغرام في الزمن الحقيقي.

### المراجع:

1. BORING, C.C., SQUIRES, T.S. and TONG, T.; "Cancer statistics, 1992, CA", A Cancer Journal for Clinicians, Vol. 42, No. 1, pp. 19-38, 1992
2. JOHNS .P.C., YAFFE .M.J., "X-ray characterization of normal and neoplastic breast tissues," Physics Medical and Biology, Vol.32, no. 6, 1987, 675-695.
3. THANGAVEL .K., KARAN .M., SIVAKUMAR .R., KAJA MOHIDEEN.A., "Automatic detection of microcalcification in mammograms: a review," ICGST-GVIP Journal, Volume (5), Issue (5), May 2005.
4. ISSAC, N. BANKMAN, "Handbook of medical imaging," Academic Press, 2000.
5. DHAWAN, P. BUELLON, G.; GORDON, R. "Enhancement of mammographic feature by optimal adaptive neighborhood image processing," IEEE Trans. Med. Imag., vol. MI-6, no. 1, 1986, 82-83 .
6. STOJIC. T, RELJIN. I, BRANIMIR. R, "Local contrast enhancement in digital mammography by using mathematical morphology," IEEE Transactions, 2005.

7. SUN. Y, SURJ. J, ZHEN. YE, RANGARAJ. M. RANGAYYAN ·ROMAN. J, "Effect of adaptive neighborhood contrast enhancement on the extraction of the breast skin line in mammograms," Proceedings of the IEEE , Engineering in Medicine and Biology 27th Annual Conference , Shanghai , China, September 1-4, 2005
8. HEINLEIN .P. , "Integrated wavelets for enhancement of microcalcifications in digital mammography," IEEE Transactions on Medical Imaging, vol. 22, no. 3, 2003, 413-402 .
9. JIANG .J., "Integration of fuzzy logic and structure tensor towards mammogram contrast enhancement "·Computer Medical Imaging and Graphics, vol. 29, no. 1,2005, 83–90.
10. KAMRA A, JAIN VK. "Enhancement of subtle signs using multiscale morphological approach". Proceedings of IEEE Conference on Point of Health Care Technologies, Engineering in Medicine and Biology, Bangalore, India. 16-18 Jan, 2013, 54-57 .
11. GONZALEZ, R.C.; WOODS, R.E.: "Digital Image Processing (Third Edition)", Prentice Hall, Upper Saddle River, 2008.
12. SERRA, J.; " Image Analysis and Mathematical Morphology", Academic Press, London, 1982.
13. <http://www.wiau.man.ac.uk/services/MIASIMIAmini.htm>:" The Mammographic Image Analysis Society: Mini Mammography Database, 2008.
14. WU. S, YU .S, YANG.Y.; XIE.Y., "Feature and contrast enhancement of mammographic image based on multiscale analysis and morphology" Computational and Mathematical Methods in Medicine, 2013.
15. KUMAR.H.N, AMUTHA.S, RAMESH BABU.D. R.; "Enhancement of Mammographic Images using Morphology and Wavelet Transform", Int.J.Computer Techology & Applications(IJCTA), JAN-FEB 2012, ISSN:2229-6093, Vol 3 (1),192-198